

九州産業大学 正会員

J. C. E.

崎山正常

○細川土佐男

菅近宏幸

1. まえがき 海岸付近の砂層地盤では、淡水と塩水とが相互に影響しながら淡塩界面を形成し運動している。この淡塩界面の非定常運動については、これまでにも数多くの研究が行われている。しかし、これらは準一様流の仮定が前提にしてあったり、淡塩界面上の取り扱いが複雑であったりするものが多く、これらは必ずしも一般的な境界条件をもつ流れの場の解析手段とはなりえず、複雑な境界条件下においては、解析が困難であると思われる。そこで筆者らは、断面2次元の基礎方程式と淡塩界面上の、淡・塩水の圧力釣合条件および法線方向の速度（連続）条件とを適用することにより、淡・塩水の両被圧領域を1つの連立方程式に展開して解析した結果を砂モデル実験により検討し、ほぼ満足できる結果を得た。

2. 基礎方程式 基礎方程式には、非圧縮性の砂層および流体であって、微小時間内の現象は定常であるとした連続の条件  $\partial U/\partial X + \partial V/\partial Y = 0$  に、ダルシーの法則  $U = -k_x \partial h/\partial X$ ,  $V = -k_y \partial h/\partial Y$  を適用して得られる  $\partial^2 \psi / \partial X^2 + \partial^2 \psi / \partial Y^2 = 0$  (1) を用いている。ここに、 $\psi = \phi_h$  である。

解析に当っては、 $X = x/H_f$ ,  $Y = y/H_f$ ,  $\phi_f = (\psi_f - k_f H_s)/(k_f H)$ ,  $\phi_s = \psi_s/(k_s H_s)$ ,  $T_f = (k_f H/H_f^2)t$ ,  $T_s = (k_s H_s/H_f^2)t$ ,  $\partial^2 \phi_f / \partial X^2 + \partial^2 \phi_f / \partial Y^2 = 0$ ,  $\partial^2 \phi_s / \partial X^2 + \partial^2 \phi_s / \partial Y^2 = 0$  (2) なる無次元化を行っている。ただし、 $\psi_f = k_f h_f$ ,  $\psi_s = k_s h_s$ ,  $h_f = (P_f / \gamma_f) + y$ ,  $h_s = (P_s / \gamma_s) + y$  である。

3. 境界条件 境界条件は図-1および図-4に示しているが、特に、淡塩界面CD上では、圧力条件  $P_f = P_s$  および法線速度条件  $V_{n,f} = -V_{n,s}$  なる条件から

$$\begin{aligned} \phi_s &= \frac{T_f}{T_s} + \frac{T_f \cdot H/H_f}{T_s \cdot H_s/H_f} \phi_f + \left( \frac{T_s - T_f}{T_s} \right) \frac{Y}{H_s/H_f} \\ \text{および} \\ \frac{\partial \phi_s}{\partial X} \frac{dy}{ds} + \frac{\partial \phi_s}{\partial Y} \frac{dx}{ds} &= -C \left( \frac{\partial \phi_f}{\partial X} \frac{dy}{ds} + \frac{\partial \phi_f}{\partial Y} \frac{dx}{ds} \right) \end{aligned} \quad \cdots \cdots (3)$$

ただし、 $C = (k_f/k_s) \cdot (H/H_f) / (H_s/H_f)$

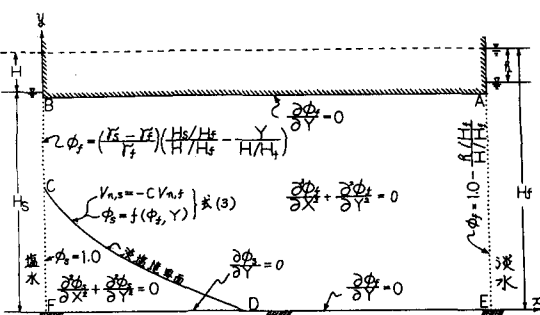


図-1 解析領域と境界条件

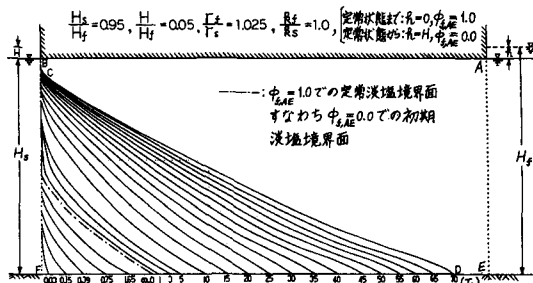


図-2 塩水侵入過程の解析例

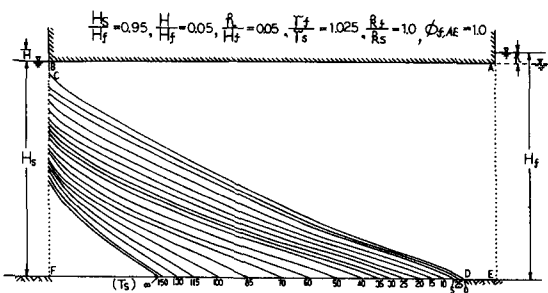


図-3 塩水排除過程の解析例

解析領域内で差分化し、境界条件を取り入れた多元連立1次方程式をバンドマトリックス化して解き、 $\Delta t$  時刻後の淡塩界面を求める、同様の解析を進めて刻々の淡塩界面を求めてゆく。

図-2は、領域内の塩水を全て排除した淡水位から、これを一気に $H_f$ まで下げ、定常淡塩境界面（一点破線）が形成されるまでの非定常過程と、この定常淡塩境界面を初期条件として、淡水位をさらに $\phi_s$ （ここで $\phi_s = H$ ）だけ一気に下げ、その後の淡塩境界面の動きを解析した結果である。また、図-3は、図-2の最終状態を初期条件として、淡水位を $\phi_s$ だけ一気に上げ、その $H_f$ に保ち、淡塩境界面がもとの定常状態におちつくまでの非定常過程を解析した結果である。これらの結果を砂モデルによって検証し、その模様を写真-1～4に示している。

次に、図-4には、領域内に淡水取水暗渠と塩水排水暗渠とを設けた場合の境界条件を示している。図-5は、図-2（あるいは図-3）の状態であらかじめ定常淡塩境界面を形成させておき、これを初期条件として、取水暗渠内の水位を一気に $\phi_s$ だけ下げ、その後の非定常過程を解析した結果である。写真-5～6は、この結果を

砂モデルにより検証したものである。また、図-6は、図-5の最終状態を初期条件として、取水暗渠を作動させたままで、排水暗渠内の水位を一気に $\phi_s$ だけ下げ、その後の非定常過程を解析した結果である。解析結果はほぼ妥当であり、未実験の図-6を除いては実験結果とほぼ一致しており、これらのことから本解析手法の妥当性は確かめられたものと考える。今後は、図-4のような流れ場において、取水施設だけは常時作動させ、排水施設は、常時あるいは間歇的に作動させる場合の非定常取水量や淡塩境界面についても検討する計画である。

#### 参考文献

- 1) 玉井信行:新体系土木工学22 淡塩流の水理,PP.176～177, 指報堂,1980年9月。
- 2) 河野伊一郎:非定常漫流における境界面問題の有限要素解析とその実験的検証,土木学会論文報告集,第313号,PP.65～73,1981年9月。



写真-2 塩水侵入過程 (図-2で Ts = 70)

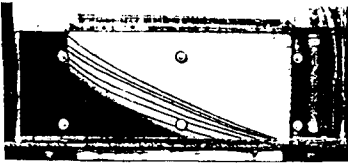


写真-4 塩水排除過程 (図-3で Ts = 100)

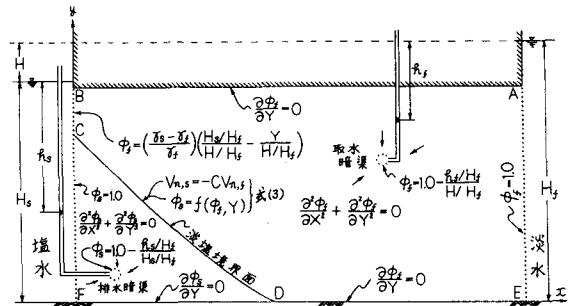


図-4 解析領域と境界条件

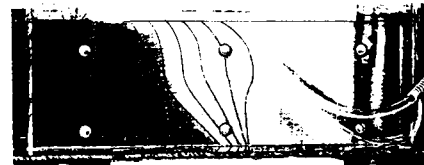
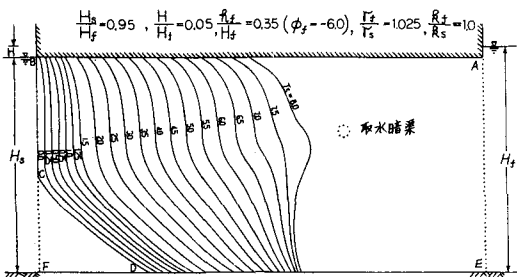


写真-5 淡水取水による塩水侵入過程 (図-5で Ts = 4.0)

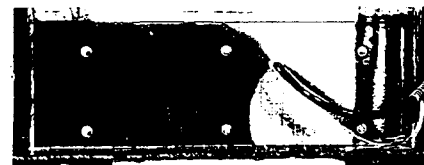


写真-6 淡水取水による塩水侵入過程 (図-5で Ts = 8.0)

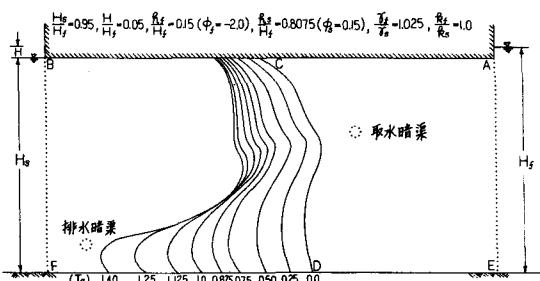


図-6 淡水取水、塩水排水による塩水排除過程